

国立公害研究所 正員 福島武彦  
正員 村岡浩郎

1. はじめに

最近、海域・湖沼・貯水池などを対象に、生物量などの項目を含めた本質予測モデルの適用及び解析が盛んに行われようとしている。この時、田野が行なっているような解の特性の明白化及びモデル全体としての精度を考慮に入れたモデル化手法の検討といったことが重要な問題と考えられる。ここでは植物プランクトン、栄養塩と変数とした基本方程式を選び、解の定常時・非定常時の特性を明らかにするとともに、時間ステップ、諸係数の変化に対する各種計算スキームの安定性及び累積誤差の評価方法について論じる。

2. 解の特性

対象領域全体を一つのボックスと考える完全混合槽モデルにおける生物・栄養塩濃度の変化を考える。増殖項には一般によく用いられるE型の式を用いると、水中栄養塩濃度C(ppm)、植物プランクトン量P(ppm)に対して次のような方程式が得られる。

$$dP/dt = \alpha_1 C P / (C + C_m) - \alpha_2 P + \beta (P_0 - P) \quad (1)$$

$$dC/dt = \alpha_2 (1 - \alpha_4) \alpha_3 P - \alpha_1 \alpha_3 C P / (C + C_m) + \beta (C_0 - C) + \gamma \quad (2)$$

$\alpha_1$ : 増殖速度係数 (day<sup>-1</sup>),  $\alpha_2$ : 減衰速度係数 (day<sup>-1</sup>),  $\beta$ : 本塊の交換率 (day<sup>-1</sup>),  $\alpha_3$ : 回復係数,  $C_m$ : ミカエル定数 (ppm),  $C_0$ : 流入栄養塩濃度 (ppm),  $P_0$ : 流入プランクトン濃度,  $\gamma$ : 流入以外の栄養塩供給量 (ppm/day),  $\alpha_4$ : 栄養塩・プランクトンの競争率  
ここで湖沼などを対象に考えると  $P_0 < P$ ,  $0 \leq \alpha_4 \leq 1$ ,  $\alpha_1, \alpha_2, \alpha_3, C_m > 0$  が条件となる。定常解又は非定常時の変化については代表的な係数の条件に対して、次のような特性を有することがわかる。(C<sub>in</sub>, D<sub>in</sub> は t=0 での初期濃度)

(i)  $\beta \neq 0$ ;  $C_{sat} = (\alpha_2 + \beta) C_m / (\alpha_1 - \alpha_2 - \beta)$  とし  $t \rightarrow \infty$  の定常濃度は

$$C_0 \geq C_{sat} \text{ (or } \alpha_1 - \alpha_2 - \beta \geq 0 \text{)} \text{ のとき } C_{sat} = C_{sat}, P_{sat} = (\beta(C_0 - C_{sat}) + \gamma) / \alpha_3 (\beta + \alpha_2 \alpha_4) \quad (3)$$

$$C_0 < C_{sat} \text{ (or } \alpha_1 - \alpha_2 - \beta < 0 \text{)} \text{ のとき } C_{sat} = (\beta C_0 + \gamma) / \beta, P_{sat} = 0 \quad (4)$$

(ii)  $\beta = 0, \alpha_4 = 0, \gamma = 0$ ; ( $\alpha_1 > \alpha_2$ )

$$D = \alpha_3 P + C \text{ (本塊中の全養塩量)} \text{ を用いて } D = \text{const. として } dC/dt = (\alpha_1 - \alpha_2)(D - C)(C^* - C) / (C + C_m) \quad (5)$$

$$\text{よって } C_{in} \geq C^* \text{ のとき } \frac{(C - C^*)^{C_m + C^*}}{(D - C)^{C_m + D}} = \frac{(C_{in} - C^*)^{C_m + C^*}}{(D - C_{in})^{C_m + D}} e^{-(\alpha_1 - \alpha_2)(D - C^*)t} \quad (6)$$

$$C^* = C'_{sat} = \alpha_2 C_m / (\alpha_1 - \alpha_2) \text{ (} C_{in} < C^* \text{ の時も同様、図1に)} \quad (7)$$

$$(5) \text{ 式の変曲点は } d^2C/dt^2 = 0 \text{ より } C_{cr} = -C_m + \sqrt{C_m^2 + C_m(C_{in} + D)} + C^* D \quad (8)$$

(iii)  $\beta = 0, \gamma = 0, 0 < \alpha_4 \leq 1$

$$\alpha_1 \geq \alpha_2 \text{ のとき } C_{in} \geq C'_{sat} \text{ のとき } C'_{sat} = \alpha_2 C_m (1 - \alpha_4) / (\alpha_1 - (1 - \alpha_4) \alpha_2) < C^* \quad (9) \quad dP/dt = -\alpha_1 \alpha_4 P \text{ (過剰状態で } dC/dt = 0 \text{)}$$

(iv)  $\beta = 0, \alpha_4 = 0, \gamma > 0$ ;

$$dC/dt = (t + D_{in} - C)(\alpha_2 - \alpha_1 C / (C + C_m)) + \gamma \quad (9) \text{ となり}$$

$\alpha_1 > \alpha_2$  のとき  $dC/dt = 0$  の小さいほうの根は漸近する。

(v)  $\alpha_1 = \alpha_2 = 0$  ( $\beta \neq 0$ );

$$C(t) = C_0 + \gamma / \beta + (C_{in} - (C_0 + \gamma / \beta)) e^{-\beta t} \quad (10)$$

以上の特解より、式(1),(2)の解の特性は  $\alpha_1, \alpha_2, (1 - \alpha_4), \beta, \gamma / C_0$  の比率に支配されていることがわかる。このため実際のシミュレーション時の、諸係数に対するパラメータの精度及び与え方も、解の特性に適合した形にすることが必要となる。

図1. (ii)の解

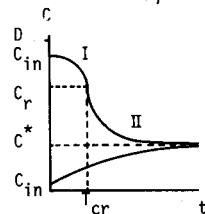


図2. (b)の誤差

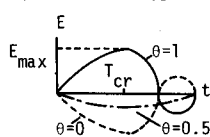
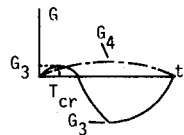


図3. ルンゲ-フツツ法の誤差



### 3. 数値解の諸問題

生物反応を支配する(II)の解( $C_{in} \geq C^*$ )に対象に、①恒量の保存、②収束安定性、③累積誤差について、以下の差分方程式と比較した。(a)ルンゲクッタ法 3次4次 (1),(2)準直 & (5)に於て、(b)  $(C_{(t+\Delta t)} - C_{(t)})/\Delta t = (\alpha_1 - \alpha_2)\theta(D - C_{(t)})C^*/(C_{(t)} + C_m) + (1-\theta)(\alpha_1 - \alpha_2)(D - C_{(t+\Delta t)})(C^* - C_{(t+\Delta t)})/(C_{(t+\Delta t)} + C_m)$ , (c)  $(C_{(t+\Delta t)} - C_{(t)})/\Delta t = (\alpha_1 - \alpha_2)\theta(D - C_{(t)})(C^* - C_{(t)})/(C_{(t)} + C_m) + (1-\theta)(\alpha_1 - \alpha_2)(D - C_{(t)})(C^* - C_{(t+\Delta t)})/(C_{(t+\Delta t)} + C_m)$ , (d)(1),(2)式に於て(c)と同じく、増殖母分子のCについてのみ  $\theta = 1$ 、 $t + \Delta t$ は分配差分法方法。(以上  $0 \leq \theta \leq 1$ )

① (a)~(d)すべて恒量を保存するスキームである。

② 収束安定性; (b)  $-C_{(t+\Delta t)} = (T+S)C^*/(1+S) + (1-T)C_{(t)}/(1+S)$  (11),  $T = \Delta t(\alpha_1 - \alpha_2)\theta(D - C_{(t)})/(C_{(t)} + C_m)$ ,  $S = \Delta t(\alpha_1 - \alpha_2)(1-\theta)(D - C_{(t+\Delta t)})/(C_{(t+\Delta t)} + C_m)$  と変形でき、絶対収束の条件は  $T < 1.0$  (12) と有り、 $\theta = 0$  の implicit 法では  $\Delta t$  任意に収束。(c)  $-C_{(t+\Delta t)} = TC^*/(1+(1-\theta)T) + (1-\theta)C_{(t)}/(1+(1-\theta)T)$  (13) (b)と同様に  $T < 1.0$  (12) が条件となる。(a)一伝播誤差の評価より、収束性を検討する。この議論は(b),(c)の  $\theta = 1$  の場合に於ても成り立つ。一回のタイムステップにおける誤差  $E_i$ ,  $(i+1)$  ステップのトータルの誤差  $E_{i+1}$  とすると  $E_{i+1} = (1 + f_c(C_i, \Delta t))E_i + \tau_i$ ,  $f = dc/dt$  (14) が得られる。この問題の場合には  $f_c = 0 < f_c < 1$  ( $C > C_r$ ),  $f_c \leq 0$  ( $C \leq C_r$ ) であるが、収束-発散の問題となるのは  $C < C_r$  の領域であることがわかる。この結果、収束の条件は  $|1 + f_c \Delta t| < 1$  と有り  $C > C^*$   $f_c = (\alpha_1 - \alpha_2)D/(C + C_m)$  より  $\Delta t_2 < 2(C^* + C_m)/D(\alpha_1 - \alpha_2)$  (15) と有り、(12)を  $C > C^*$  としたときの  $\Delta t_1 < (C^* + C_m)/D(\alpha_1 - \alpha_2)$  は係数が2倍異なるだけである。つまり  $\Delta t_1 < \Delta t < \Delta t_2$  の範囲では  $C < C^*$  と有り  $C$  が  $C^*$  に収束することがわかる。(d)-(c)と同じ。以上の収束の条件と実際の数値計算結果と比較したものが表1.2である。(数値計算では 0.05, 0.1, 0.2, 0.5, 1.0, 2.0, 5.0, 10.0, 20.0 day と離散的に  $\Delta t$  と与えた。表2より1ランク下まい  $\Delta t$  では発散したことを示す。)

③ 誤差の推定; 図1のI,IIの領域で(5)はそれぞれ

表1. 係数値

	$\alpha_1$	$\alpha_2$	D	$C_{in}$	$C^*$	$C_{cr}$	$\gamma_1$	$\gamma_2$	$\Delta t_1$	$\Delta t_2$
Case1.	1.0	0.1	0.2	0.19	$2.2 \times 10^{-3}$	0.050	0.81	8.0	0.12	0.25
Case2.	1.0	0.1	0.4	0.38	$2.2 \times 10^{-3}$	0.077	0.85	16.1	0.06	0.12
Case3.	2.0	0.1	0.2	0.19	$1.1 \times 10^{-3}$	0.048	1.72	18.0	0.53	0.11
Case4.	1.0	0.8	0.2	0.19	0.08	0.148	0.11	0.24	4.17	5.0

(5)に近似される。(b)-この誤差は一般的に考えられる  $\gamma_1, \gamma_2 = \text{Order}(0.1)$  程度では  $C_m \gg C_{cr}$  の時、領域Iでの誤差が領域IIでの誤差に比べ大きく、 $t_{cr}$  のときに累積誤差は最大となる。(図2)  $\Delta t$  が小さく累積誤差が各ステップの誤差の和で表現されるときは、 $n \gg t_{cr}$

までのステップ数として、 $E_{0 \rightarrow 0} = -E_{0 \rightarrow 1} = \sum C_i^*(t) \Delta t^2 / 2 \approx \gamma_1^2 \Delta t^2 \times (2D - C_{in} - C_{cr})n/4 \approx \gamma_1^2 \Delta t^2$  (16),  $E_{0 \rightarrow 0.5} = \sum C_i^*(t) \Delta t^3 / 12 \approx \gamma_1^3 \Delta t^3 (2D - C_{in} - C_{cr})n/48 \approx \gamma_1^3 \Delta t^3$  (17) と有り。(a)-ルンゲクッタ法では累積誤差は図3のようになります。 $G_3(t=t_{cr}) = -\sum C_i^{(4)}(t) \Delta t^4 / 24 \approx \gamma_1^4 \Delta t^4 (2D - C_{in} - C_{cr})n/48 \approx \gamma_1^4 \Delta t^4$  (18),  $G_3 = -\sum C_i^{(4)}(t) \Delta t^4 / 24 \approx -\gamma_2^4 \Delta t^4 \cdot \text{Const} / (\Delta t \cdot \gamma_2) \approx -\gamma_2^4 \Delta t^4$  (19),  $G_4 = -\sum C_i^{(5)}(t) \Delta t^5 / 120 \approx \gamma_2^5 \Delta t^5 \cdot \text{Const} / (\Delta t \cdot \gamma_2) \approx \gamma_2^5 \Delta t^5$  (20) と表現される。Const の値は、 $\gamma_1, \gamma_2$  の通常の値に於て、ほぼ  $2 \times 10^{-3}$  程度となる。(16)~(20)式 (Theo) と数値計算値 (Cal.) と表1の Case1 に於て比較したものが表2にある。

①~③の結果を用いれば、シミュレーション時の目的-精度に見合、スキームの選定及び  $\Delta t$  (場合によ、 $\tau$  は  $\Delta t$  と) の与え方がわかる。

[参考文献]

1. 日野科雄; 土木学会論文報告集 No.286号

表2. 収束限界の  $\Delta t$  (数値計算結果)

表3. 誤差の比較 (単位 ppm)

	$\Delta t = 0.05$		$\Delta t = 0.10$	
Case	Cal.	Theo.	Cal.	Theo.
(b) $\theta = 0.0$	$-5.6 \times 10^{-3}$	$-4.6 \times 10^{-3}$	$-1.1 \times 10^{-2}$	$-9.1 \times 10^{-3}$
$\theta = 0.5$	$-2.5 \times 10^{-5}$	$-2.8 \times 10^{-5}$	$-9.9 \times 10^{-5}$	$-1.1 \times 10^{-4}$
$\theta = 1.0$	$6.0 \times 10^{-3}$	$4.6 \times 10^{-3}$	$1.1 \times 10^{-2}$	$9.1 \times 10^{-3}$
(a) $G_3$	$8.0 \times 10^{-7}$	$6.4 \times 10^{-7}$	$6.2 \times 10^{-6}$	$5.2 \times 10^{-6}$
$G_3$	$-5.2 \times 10^{-6}$	$-5.4 \times 10^{-6}$	$-4.4 \times 10^{-5}$	$-4.3 \times 10^{-5}$
$G_4$	$4.0 \times 10^{-7}$	$4.0 \times 10^{-7}$	$7.1 \times 10^{-6}$	$6.8 \times 10^{-6}$